

# 斜面의 三次元 破壊確率에 관한 研究

A Three Dimensional Study on the Probability of Slope Failure

金	泳	壽*
Kim,	Young	Su
林	炳	祚**
Lim,	Byuong	Zo
白	榮	植***
Paik,	Young	Shik

## Abstract

The probability of failure is used to analyze the reliability of three dimensional slope failure, instead of conventional factor of safety. The strength parameters are assumed to be normal variated and beta variated. These are interval estimated under the specified confidence level and maximum likelihood estimation. The pseudonormal and beta random variables are generated using the uniform probability transformation method according to central limit theorem and rejection method. By means of a Monte-Carlo Simulation, the probability of failure is defined as;

$$P_f = M/N \quad N : \text{Total number of trials}$$

$$M : \text{Total number of failures}$$

some of the conclusions derived from the case study include;

1. If the strength parameters are assumed to be normal variated, the relationship between safety factor and the probability of failure is fairly consistent, regardless of the procedures of analysis and dimensions of assumed rupture surfaces.
2. However if the strength parameters are beta variated, general relationship between  $F_s$  and  $P_f$  is hardly found.

## 要 旨

斜面의 3次元 破壊의 信頼性 解析에 安全率 대신 破壊確率이 使用되었다. 強度定數는 正規分布와 베타分布(beta distribution)로 가정하였고 特別한 信頼度와 最尤推定法에 의하여 區間推定을 하였다. 正規分布와 베타分布의 擬似無作為變數는 中心極限定理와 Rejection方法에 따라 一樣分布變換方法을 使用하여 發生시켰고 몬테칼로방법(Monte-Carlo Method)에 의한 破壊確率은 다음과 같이 定義된다.

$$P_f = M/N \quad M : \text{破壊回數} \quad N : \text{施行回數}$$

\* 正會員・江原大學校 工科大學 土木工學科 助教授

\*\* 正會員・高麗大學校 工科大學 土木工學科 教授

\*\*\* 正會員・慶熙大學校 工科大學 土木工學科 教授

本研究의 結論은 強度定數를 正規分布로 가정한 경우에는 주어진 破壞表面에 대하여 어떤 解析方法과 次元에 대해서도 安全率과 破壞確率과의 관계는 一定하였으나 베타分布로 가정한 경우에는 一定한 관계가 나타나지 않았다.

## 1. 序 論

現在 斜面安定 解析에 있어서 土木工學者들은 安全度의 尺度로서 安全率의 概念을 使用하고 있으며 주어진 斜面의 安全率을 求하기 위하여 斜面의 幾何學의 諸要素와 함께 斜面의 物理的, 力學的 定數 특히 強度定數의 代表值를 決定하여 이들 값을 使用한다.

이 값들은 實際에 있어서는 橫, 縱으로 各點마다 그리고 時間に 따라 많이 變化한다는 事實이 報告되었다<sup>(8, 10, 13)</sup>.

그리고 應力은 多く 解析方法에 의하여 作用하는 荷重으로부터 求하는데 여기에는 많은 假定이 있기 때문에 不確實性이 항상 存在하며 現場實驗을 通하여 測定한 土性과 實驗室에서 測定한 土性과의 사이에는 큰 차이가 있으므로 結果은 強度定數의 算定에 큰 不確實性이 內包되는 것이다<sup>(8, 10)</sup>.

또한 同一한 試料(만일 이러한 말이 許容된다 해도)로 같은 시험을 한다 해도 그 結果는 完全히一致하리라고는 期待하기 어렵다. 따라서 單一值를 使用하는 現在의 決定論的 接近方法(deterministic approach)은 흙의 強度의 分散性을合理的으로 고려할 수 없고 結果의 으로 어떤 特別한 安全率이 모든 흙에 대하여 똑같은 뜻을 나타내지 않는다.

그리고 安全率이 絶對的인 安全을 意味하지 않고 偶然한 機會에 破壞를 일으킬 可能性을 內包하고 있다<sup>(8, 10)</sup>.

同一한 條件에서는 安全率이 더 큰 쪽이 보다 安全하다고 생각할 수 있으나 安全率이 2라 하는 것이 반드시 斜面의 安全度가 2倍라는 意味는 아니다. 이 安全率은 安全與否를 判斷하는 要素은 될 수 있으나 安全의 程度는 나타내지는 못한다<sup>(8)</sup>.

그리하여 決定論的 接近方法의 問題點을 解決

할 수 있는 確率論的 接近方法(probabilistic approach)의 必要性이 생기게 되는 것이다.

現在 安全率 代身 破壞確率(probability of failure)이란 概念으로 斜面의 信賴性을 表示하려는 試圖가 일어나고 있다<sup>(1)</sup>.

지금 許容安全率은 過去의 經驗과 先例에 의하여 選擇되는데 이 安全率의 選擇은 個人的直觀的인, 任意의 選擇이라는 批評을 받을 수 있으며 經驗이 없는 對象의 解析에는 安全率을 選擇하기가 아주 어렵다<sup>(8, 14)</sup>.

斜面 安定解析에 있어서 適切한 破壞確率의 選擇도 역시 直觀的이나 安全率을 選擇하는 것 보다도 破壞確率을 選擇하므로써 問題의 解決을 더욱 明白하게 한다<sup>(8)</sup>.

解析에 있어서 新しい 接近方法을 採擇하지 않는 主된 理由 중의 하나는 保守的인 接近方法과 代置할 수 있는 알맞은 新しい 技術과 方法이 나오지 않기 때문이다.

이러한 問題를 解決하기 위하여 위에서 論한 바와 같은 不確實 要因을 確率的으로 解析하여 즉, 強度定數의 確率分布를 正規分布와 베타分布로 假定하여 斜面의 傾斜와 斜面 安定 解析方法 그리고 強度定數의 C.O.V. (coefficient of variance)를 달리하여 어떤 特定한 斜面의 三次元 破壞確率<sup>(2, 5, 11)</sup>과 이를 비교하기 위하여 斜面의 二次元 破壞確率을 몬테칼로 方법을 利用하여 求하는 프로그램(program)을 開發함과 아울러 安全率과 破壞確率과의 關係를 究明하는데 本研究의 目的이 있다.

## 2. 研究 内容 및 方法

斜面 安全解析에 있어서 영향을 미치는 要素는 破壞面의 幾何學的 要素, 흙의 不均質性, 引張龜裂, 動的荷重, 地震, 地下水 그리고 浸透流 등이 있으나 本研究에서는 二次元 解析에서는 斜面의 破壞 表面을 圓弧로, 三次元 解析에서는

球表面으로假定하여 다른要素들은 고려하지 않고均質土에 대하여安全率을計算하였다.

여기에서求한最小安全率을 가지는破壞面에 대하여破壞確率을求하였다.

### 2.1 研究의 模型과 安全率

本研究에서滑動面과斜面으로둘러싸인土塊를몇개의切片으로나누지않고한덩어리로생각하여切片法인Fellenius方法과BishopSimplified方法을使用하여다음과같이安全率을求하였다.

앞으로나오는Fellenius方法과Bishop方法은이경우를말한다.

#### (1) 斜面의三次元安全率

滑動面과斜面으로둘러싸인土塊는그림1에서와같이球로假定하였고全體흙의重量( $W_3$ )과破壞面의面積( $A_3$ )그리고 $W_3$ 가作用하는點에서破壞面과의X軸方向의接線角( $\alpha$ )를구하기위하여그림2에서ab(i)區間, bc(j)區間, cd(k)區間을幅이 $dx$ 되는얇은切片으로나누

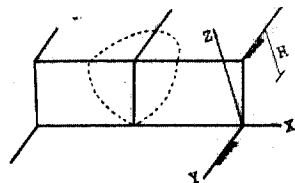


그림 1. Geometry of failure surface

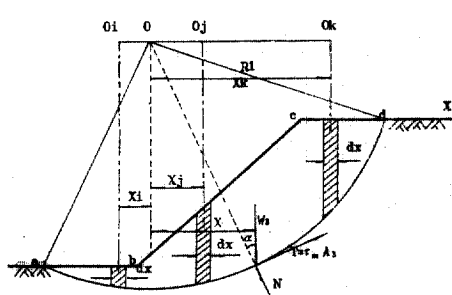


그림 2. Three-dimensional analysis

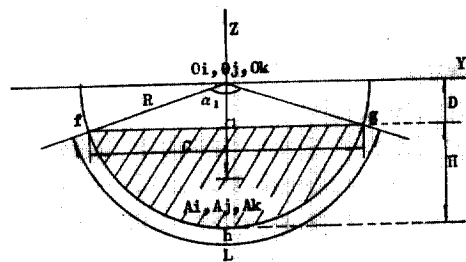


그림 3. Areas and arc lengths of slices

어各切片에 대하여그림3에서와같이計算하였다.

$$W_3 = \left( \int_a^b A_i \cdot dx + \int_b^c A_j \cdot dx + \int_c^d A_k \cdot dx \right) \cdot r$$

$$A_3 = \int_a^b L_i \cdot dx + \int_b^c L_j \cdot dx + \int_c^d L_k \cdot dx$$

여기에서 $L_i, L_j, L_k$ 는各各*i, j, k*번째의 $\widehat{fgk}$ 의길이 $A_i, A_j, A_k$ 는各各*i, j, k*번째의面積

$$H = R - D$$

$$H = R - \frac{1}{2} \sqrt{4R^2 - C^2}$$

$$\alpha_1 = 2 \tan^{-1} \frac{C}{2(R-H)}$$

$$L = 0.01745 R \cdot \alpha_1$$

$$A = \frac{1}{2} [R \cdot L - C(R-H)]$$

$$X = \frac{\int_a^b A_i \cdot X_i \cdot dx + \int_b^c A_j \cdot X_j \cdot dx + \int_c^d A_k \cdot X_k \cdot dx}{W_3}$$

이다.

$$F_3 = \frac{MR}{MS}$$

$$MR = \int_{x,y} (c + \sigma \tan \phi) R_1 dx dy$$

$$= (c \cdot A_3 + N \cdot \tan \phi) R_1$$

$$MS = W_3 \sin \alpha R_1$$

가. Fellenius Solution

$$N = W_3 \cos \alpha$$

$$F_3 = \frac{c \cdot A_3 + W_3 \cos \alpha \tan \alpha}{W_3 \sin \alpha}$$

나. Bishop simplified Solution

$$T = \frac{1}{F} (c \cdot A_3 + N \tan \phi)$$

$$F_3 = \frac{1}{W_3 \sin \alpha} [c \cdot A_3 / \sec \alpha]$$

$$+ W_3 \tan \phi \left[ \frac{\sec \alpha}{1 + \frac{\tan \alpha \cdot \tan \phi}{F}} \right]$$

## 2.2 破壊確率

### (1) 破壊確率理論<sup>(3,4)</sup>

斜面安定解析에 있어서 確率的인 概念으로 安全率( $F_s$ ), Safety Margin(SM), 그리고 Central Factor of Safety(CFS)를 定義해 보자.

破壊確率은 應力과 剪斷强度의 確率分布에 달려 있으며 滑動모우먼트와 抵抗모우먼트는 正規分布나 베타分布 등과 같은 統計的 distribution를 하고 있다.

Harr(1977)에 의하면 後者를 抵抗(Capacity)라 하고 前者를 荷重(Demand)이라 하였다(그림 4(a)).

가. 決定論的 接近方法에서 推測된 單一值(estimated single values)  $\hat{C}, \hat{D}$ 를 使用하여 安全率을 計算하여 왔다.

나. Safety Margin(SM)은 抵抗( $C$ )와 荷重( $D$ )와의 差( $C-D$ )로 定義하고 그것 역시 無作爲變數이다.

다. Central Factor of Safety(CFS)는 期待抵抗(expected capacity)과 期待荷重(expected demand)과의 比로 定義한다.

一般的으로 期待値은 平均値  $\bar{C}, \bar{D}$ 이다. 즉

$$F_s = \frac{\bar{C}}{\bar{D}}$$

$$SM = C - D$$

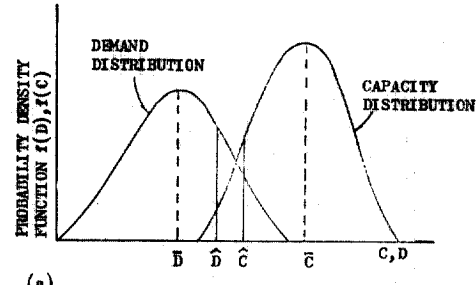
그리고

$$CFS = \frac{\bar{C}}{\bar{D}}$$

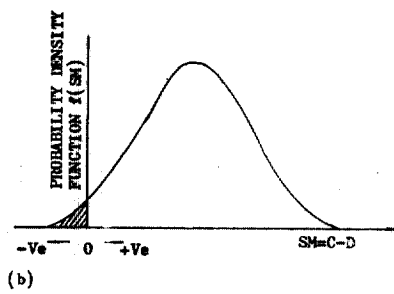
Safety Margin(SM)이 0보다 작을 때 破壊가期待될 수 있다. 주어진範圍에서 確率密度函數 아래 部分의 面積은 累積密度函數(cumulative density function)를 意味한다.

그리고 確率密度函數 아래의 面積과 빗금친部分의 面積과의 比는 破壊確率을 意味하며 累積密度函數는 0과 1 사이의 值을 가진다(그림 4(b)).

破壊確率( $P_f$ )는 Safety Margin( $SM=C-D$ )이 0과 같거나 작거나 한 確率로 다음과 같이 定義한다.



(a)



(b)

그림 4. (a) Distributions of capacity  $C$  and demand  $D$  both considered as random variables. (b) Distribution of safety margin  $SM$  considered as a random variable.

$$P_f = P\{C - D \leq 0\} = P(SM \leq 0)$$

그리고  $0 \leq P_f \leq 1$ 이다.

破壊確率( $P_f$ )는一般的으로 다음과 같이 求할 수 있다.

그림 5에서 어떤 荷重  $D_1$ 이 作用할 確率은 微小區間  $dD$ 의 面積이다. 즉

$$P\left[D_1 - \frac{dD}{2} < D < D_1 + \frac{dD}{2}\right] = f_D(D_1)dD$$

여기에서  $f_D(D)$ 는 荷重의 確率密度函數(PDF)이다. 그리고 抵抗( $C$ )이  $D_1$ 보다 작을 確率, 즉

$C < D_1$ 는 그림 5에서 보여주는 빗금친部分으로 나타낸다. 즉,

UPPER TAIL OF DEMAND DISTRIBUTION D

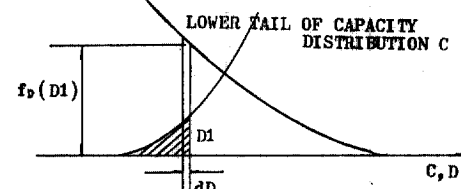


그림 5. The probability of failure at the demand level  $D_1$

$$P[C < D_1] = \int_{-\infty}^{D_1} f_c(C) dC$$

荷重  $D_1$  이 작용할 때 破壞確率은 두 確率의 積이다. 즉,

$$dP_f = f_D(D_1) dD \int_{-\infty}^{D_1} f_c(C) dC$$

윗式을 積分하면

$$P_f = \int_{-\infty}^{\infty} \left[ \int_{-\infty}^D f_c(C) dC \right] f_D(D) dD$$

혹은

$$P_f = \int_{-\infty}^{\infty} F_c(D) f_D(D) dD$$

여기에서  $F_c(\cdot)$ 는 累積密度函數

이 때  $0 \leq P_f \leq 1$  이고

信賴度(reliability)  $R$  은

$$R = 1 - P_f$$

그러므로 抵抗과 荷重의 統計的 分布를 알면 斜面의 破壞確率을 計算할 수 있다.

## (2) 強度定數의 確率分布函數<sup>(6, 7, 12)</sup>

本研究에서는 強度定數, 흡의 内部마찰각과 粘着力을 正規分布와 베타分布로 假定하여 計算하였다.

가. 正規分布<sup>(4)</sup>

Safety Margin의 平均과 標準偏差는 다음과 같다.

$$\bar{S}M = \bar{C} - \bar{D}$$

$$S_{SM} = \sqrt{S_D^2 + S_C^2}$$

그러므로 SM에 대한 確率密度函數는

$$f(SM; \bar{S}M, S_{SM}) = \frac{1}{S_{SM} \sqrt{2\pi}} \cdot$$

$$\exp \left[ -\frac{1}{2} \left( \frac{SM - \bar{S}M}{S_{SM}} \right)^2 \right]$$

$$-\infty < SM < \infty, S_{SM} > 0$$

破壞確率을 計算하기 위하여  $SM \leq 0$ 인 標準正規分布(standard normal distribution)의 累積密度函數가 必要하다. 累積密度函數는 다음과 같다.

$$F(SM; \bar{S}M, S_{SM}) = \int_{-\infty}^{SM} \frac{1}{S_{SM} \sqrt{2\pi}} \cdot$$

$$\exp \left[ -\frac{1}{2} \left( \frac{SM - \bar{S}M}{S_{SM}} \right)^2 \right] d_{SM}$$

나. 베타分布<sup>(3, 4)</sup>

Lumb에 의하면 正規分布는 다음과 같은 弱點을 가지고 있다.

(a) 強度定數는 險의 欲을 가질 수 없으나 正規分布는 險의 領域에까지 分布密度를 가지게 되어 있다.

(b) 強度定數는 어떤 有限한 範圍의 欲을 가지게 되나 正規分布는 分布密度가 險의 無限大에서 陽의 無限大에서까지 걸쳐 있게 된다.

(c) 強度定數의 標本值들은 반드시 平均에 대하여 對稱인 것은 아니나 正規分布는 항상 對稱이다.

이와 같은 正規分布의 弱點은 보다 多樣한 一般 베타分布를 採擇함으로써 除去할 수 있다.

베타分布는 任意의 區間( $A, B$ )사이에 分布密度를 局限시킬 수 있을 뿐만 아니라 非對稱일 수도 있는 多樣한 것이므로 強度定數를 表示하는 데는 正規分布보다 더 効果적인 것으로 判断된다.

區間( $A, B$ )에 걸쳐 있는 베타分布의 確率密度函數는

$$f(x; \alpha, \beta, A, B) = \frac{1}{B-A} \frac{\Gamma(\alpha+\beta)}{\Gamma(\alpha)\Gamma(\beta)} \left( \frac{x-A}{B-A} \right)^{\alpha-1} \left( 1 - \frac{x-A}{B-A} \right)^{\beta-1}$$

$$\alpha > 0, \beta > 0, A \leq x \leq B$$

$$= 0, 그 외에$$

한편, 累積分布函數는

$$F(x; \alpha, \beta, A, B) = 0, x < A$$

$$= \frac{1}{B-A} \frac{\Gamma(\alpha+\beta)}{\Gamma(\alpha)\Gamma(\beta)} \cdot$$

$$\int_A^x \left( \frac{x-A}{B-A} \right)^{\alpha-1} \left( 1 - \frac{x-A}{B-A} \right)^{\beta-1} dx$$

$$A \leq x \leq B$$

$$= 1, x > B$$

여기에서  $\alpha, \beta$ 는 形狀係數이며 다음과 같이 하여 概略的으로 求할 수 있다.

$$\hat{x} = \frac{\bar{x} - A}{B - A}, \hat{V} = \left( \frac{S}{B - A} \right)^2$$

$$\hat{\beta} = \frac{(1 - \hat{x})}{\hat{V}} [\hat{x}(1 - \hat{x}) - \hat{V}]$$

$$\hat{\alpha} = \frac{\hat{x} \cdot \hat{\beta}}{1 - \hat{x}}$$

다. 信賴區間(confidence interval)<sup>(3, 4)</sup>

주어진 試料에서 特定한 信賴水準(confidence level)을 가지는 信賴區間을 定하는 方法은 試料의 個數에 따라 달라진다.

(a) 試料의 個數가 적은 경우 強度定數의 平均值은 比較的 信賴할 만 하므로 土性指數에 관한 統計的 資料에서 C.O.V. 을 利用하여 標準偏差을 求할 수 있고 이 平均과 標準偏差의 値에 따라 信賴區間을 決定할 수 있다.

(b) 베타分布의 區間( $A, B$ )는 最尤推定法(MLE; Maximum Likelihood Estimation)에 의하여

$$\max(X) = \hat{B}$$

$$\min(X) = \hat{A}$$

로 決定할 수 있다.

(3) 強度定數의 確率分布에 대한 確率變數生成

强度定數는 區間( $A, B$ )에 正規分布나 베타分布하는 確率變數  $X$ 로 表示하기로 한다. 따라서 斜面을 構成하고 있는 此의 強度定數는 信賴度를 갖는 區間( $A, B$ )에 存在하는 어떤 値도 가질 수 있고  $X \leq x$  가 될 確率은  $P(X \leq x) = F(x)$ 로 된다.

여기에서  $F(x)$ 는 正規分布와 베타分布의 累積分布函數이며 그림 6과 같다.

다음은 假定한 正規分布나 베타分布에 適合하

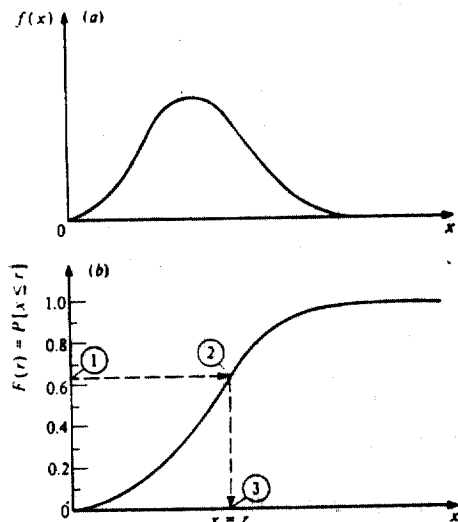


그림 6. Technique for generating random values of distributions using the cumulative probability function.

도록 亂數(random number)를 生成한다. 이때 一様分布變換(uniform probability transformation)方法을 利用할 수 있는데 이는 어떤 連續分布에서도 그 累積分布는 區間(0, 1)에 一様分布(uniform distribution)한다는 事實을 利用하는 것이다.

0에서 1 사이에 一様分布하는 確率變數를  $X_i$  라 하면  $X_i$ 를 生成하는 데는 많은 컴퓨터 프로그램이 開發되어 있다.

例를 들어 混合式, 合同法, 中央 2 乘法, 修正中央 2 乘法, 乘算式 合同法 등이 있으나 그中에서 乘算式 合同法(congruent method)을 여기에 소개하겠다.

$$X_i = A X_{i-1} \text{ MOD } M$$

여기에서  $M$ 은 2 또는 10의 큰 累乘數

$A$ 는 0과  $M-1$  사이의 整數

$X_i = y \text{ MOD } M$ 의 意味는  $y$ 를  $M$ 으로 나눈 나머지는  $X_i$ 라는 뜻이다. 初期值  $X_0$ 를 選擇하여  $A$ 를 곱하고 그것을  $M$ 으로 나누면  $X_i$ 를 求할 수 있다. 이러한 方法으로 必要한 回數만큼 反復하여 模似無作爲數  $X_0(0, 1)$ 를 生成시킬 수 있다.

式을 利用하여  $a, b$  사이에 一様分布하는 確率變數  $X_u(a, b)$ 는 다음과 같이 生成시킬 수 있다.

$$X_u(a, b) = (b-a)X_u(0, 1) + a$$

이와 같이 하여 일단 累積分布가 일어지면 다음 순서에 의하여 이에 對應하는 強度定數  $x$ 를 數值解析法으로 풀 수 있다(그림 6).

1 단계 : 區間(0, 1)에 걸친 一様分布인 確率值  $X_u$ 를 生成한다.

2 단계 :  $X_u = F(x)$ 로 놓는다.

3 단계 :  $F(x) = f_{-\infty}^x(x)dx$

사. 正規分布

正規分布의 確率變數를 生成시키는 Box and Muller 와 Marsaglia and Bray 들에 의하여 開發된 方法이 있으나 本 論文에서는 中心極限定理<sup>(9)</sup>에 의하여 確率變數를 生成시켰다.

만일 分散  $S^2$ , 平均  $\bar{x}$ 인 分布로부터  $n$  개의 試料를 取한다면  $n$  개의 試料의 合은 近似的으로 分散  $nS^2$ , 平均  $n\bar{x}$ 인 正規分布를 한다( $n$  가를 때). 지금 0에서 1까지 一様分布로부터  $n$  개

의試料를取해보면  $\bar{x}=1/2$ ,  $S^2=1/12$ 이 되고  $n$ 개의試料의合으로부터  $\bar{x}=n/2$ ,  $S^2=n/12$ 인正規分布를하는確率變數  $X$ 를얻는다.  $n=12$ 일때  $X$ 의分散  $S^2=1$ 그리고, 平均의合에서 6을빼면  $\bar{x}=0$ 이된다.

그러므로 만일  $X_i$ 가 0와 1사이에一樣分布를한다고하면 다음式에의하여  $\bar{x}=0$ 와  $S^2=1$ 인標準正規分布의確率變數  $X$ 를얻는다.

$$X = \sum_{i=1}^{12} X_{i-6}$$

式은確率值를生成하는데 있어서 12개의一樣分布하는確率變數를갖기때문에 많은數를生成하기에困難하며標準正規分布의꼬리部分의確率變數의生成이貧弱하다는弱點을 가지고있다.

그리하여 Teichroew<sup>(9)</sup>는式을修正하여 다음과같은式으로  $\pm 3S$ 까지使用할수있게하였다.

$$R = \frac{\sum_{i=1}^{12} X_{i-6}}{4}$$

$$X = (([(C_1 R^2 + C_2) R^2 + C_3] R^2 + C_4) R^2 + C_5) R$$

여기에서  $C_1=0.029899776$ ,  $C_2=0.008355968$

$C_3=0.076542912$ ,  $C_4=0.252408784$

$C_5=3.949846138$

式은0에서1사이에正規分布하는確率變數즉  $X_N(0,1)$ 이다. 이것을利用하여平均  $\bar{x}$ , 標準偏差  $S$ 을가지는正規分布의確率變數는다음式에의하여生成시킬수있다.

$$X_N(\bar{x}, S) = S X_N(0, 1) + \bar{x}$$

#### 나. 베타分布

베타分布하는 흡의强度定數의確率變數를다음과같은Rejection Method에의하여生成시킬수있다.

(a) 区間(0, 1)에서一樣分布하는獨立的亂數  $U_1, U_2$ 를生成한다.

(b)  $R_1=U_1^{1/p}$ ,  $R_2=U_2^{1/q}$ 을計算한다.

만일  $R_2>1.0$ 이면 a), b)過程을反復한다.

(c) 区間(0, 1)에서 베타分布하는確率變數는

$$X_B(0, 1) = R_1/R_2$$

(d) 따라서区間(A, B)에서 베타分布하는確率變數는

$$X_B(A, B) = X_B(0, 1)(B-A) + A$$

여기에서  $P, Q$ : 베타分布의形狀係數( $\alpha, \beta$ )

또 다른方法은正規分布나베타分布사이에이미알려진相互關係를利用하는것이다.

標準正規分布에서얻어진確率值  $X_N$ 을生成하는方法을이미說明하였다.  $X_N$ 을利用하여베타分布를따르는確率值  $x'$ 를찾아내는關係式은다음과같다<sup>(3, 4)</sup>.

$$x' = \frac{\sum_{i=1}^{2\alpha} X_{Ni}^2}{\sum_{i=1}^{2\alpha} X_{Ni}^2 + \sum_{i=2\alpha+1}^{2\alpha+2\beta} X_N^2}$$

뒤에서얻은  $x'$ 값을區間(A, B)걸쳐分布하는것으로變換하면다음과같다.

$$x = x'(B-A) + A$$

(4) 몬테칼로방법<sup>(3, 4)</sup>을利用한斜面破壞確率위와같은過程을통하여生成시킨强度定數를使用하여斜面의二次元과三次元破壞確率을求한다.

强度定數는區間(A, B)사이에있는값으로正規分布와베타分布를나타내므로그중에서强度定數를無作爲로콜라위에서求한破壞面에대하여安定解析을한다.

이때解析의結果는“安全”과“破壞”로매번判明될것이다. 몬테칼로방법은復雜한積分, Taylor의級數를푸는데 있어서또는하나이상의無作爲變數의確率分布를計算하는데 있어서 가장適切한方法이다.

물론 말할것도없이몬테칼로方法은많은確率值를生成해야하므로높은속도의컴퓨터가

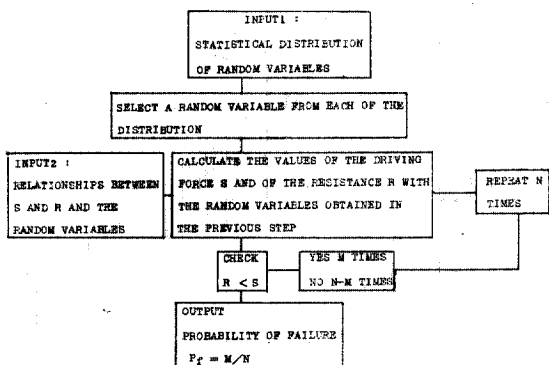


그림 7. Flow chart for the Monte-Carlo simulation of failure

利用되어야 한다.

試料의 크기가 클수록 最終結果는 正確하다. 試料의 最小크기는 一般的으로 100 정도라고 생각한다. 試料의 크기가 1,000이 되는 것도 드문 일은 아니다. Hommerley and Handscomb (1964)과 Hahn and Shapiro(1967)는 試料의 크기와 오차 Bands에 관하여 論하였다.

몬테칼로방법을 使用한 結果  $N$  中  $M$ 個의 “破壊”를 얻는다면 이 斜面의 破壊確率( $P_f$ )는 다음과 같이 定義할 수 있다(그림 7).

$$P_f = \frac{M}{N}$$

### 2.3 本研究에 使用한 入力 데이타(data)

斜面의 破壊確率을 求하기 위하여 計算에 使用된 要素中 흙의 強度定數의 C.O.V.는 Harr<sup>(4)</sup>에 의하여 發表된 統計的 資料에 의하여 대강 흙의 内部마찰각의 C.O.V.는 13%와 10% 그리고 粘着力의 C.O.V.는 45%와 40%로 選定하였다<sup>(4,6,7)</sup>. 그리하여 각각의 標準偏差는 平均에 C.O.V.를 곱하여 求할 수 있다.

正規分布에서 信賴度를 99.73%로 定하면 信賴區間은 最大值( $\mu + 3\sigma$ )와 最小值( $\mu - 3\sigma$ )로限

定되어지며 最小值는 0보다 작을 수 없기 때문에 0으로 하였다. 베타分布에서도 區間을 正規分布의 最大值와 最小值로 하였다.

### 3. 結果 및 分析

(1) 二次元 解析에서 傾斜가 2:1과 1:1인 경우

그림 8, 그림 10은 粘着力을 一定하게 하고 内部 마찰각을 變化시키면서 安全率을 求하고 内部마찰각과 粘着力의 C.O.V.를 各各 13%, 45%로 假定하여서 破壊確率을 求하여 安全率과의 關係를 대략 曲線으로 나타냈다. 그 結果 強度定數를 正規分布와 베타分布로 假定한 경우 모두 粘着力이 커짐에 따라 特定한 安全率에 對하여 破壊確率은 크게 나타났다. 그리고 그림 9, 그림 11에서 보는 바와 같이 内部마찰각을 一定하게 하여 위와 같은 方法으로 安全率과 破壊確率과의 關係를 대략 曲線으로 나타낸 結果 正規分布와 베타分布의 경우 모두 内部마찰각이 커짐에 따라 特定한 安全率에 對하여 破壊確率은 작게 나타났다.

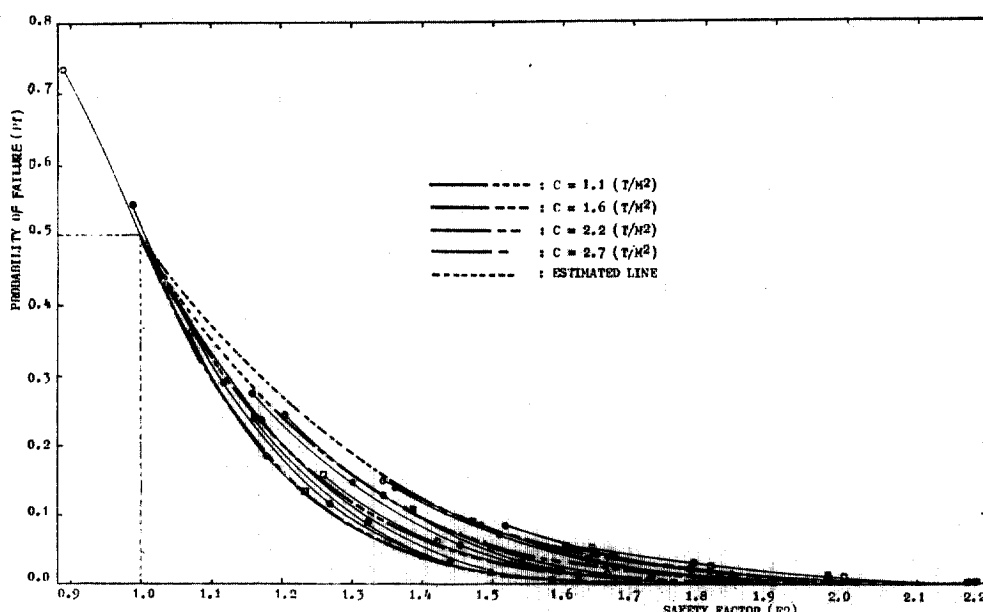


그림 8. Relationships between probability of failure and safety factor(C.O.V. of I.F. Angle=13%, C.O.V. of cohesion=45%, Normal distribution)

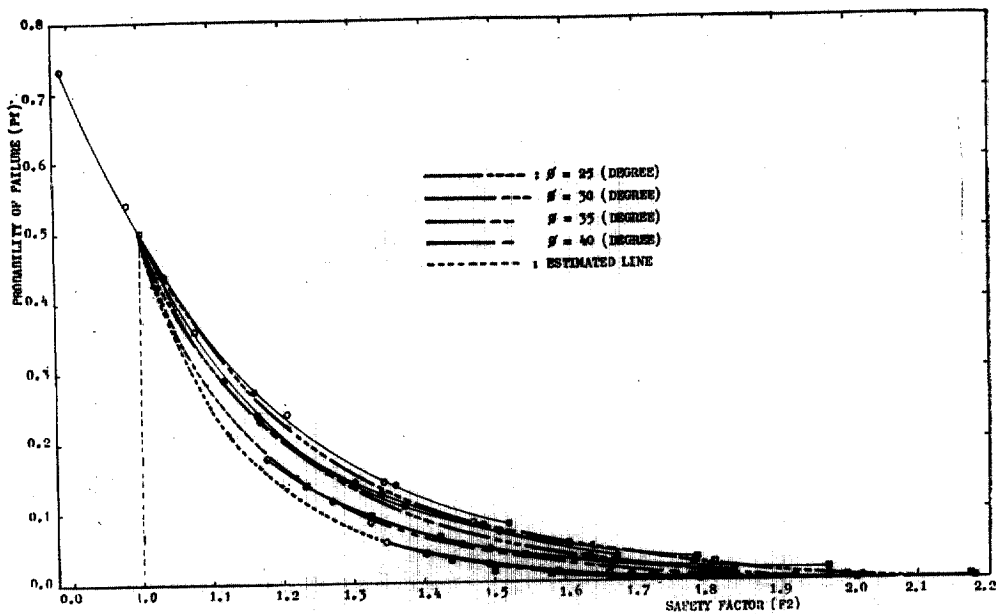


그림 9. Relationships between probability of failure and safety factor(C.O.V. of I.F. Angle=13%, C.O.V. of Cohesion=45%, Normal distribution)

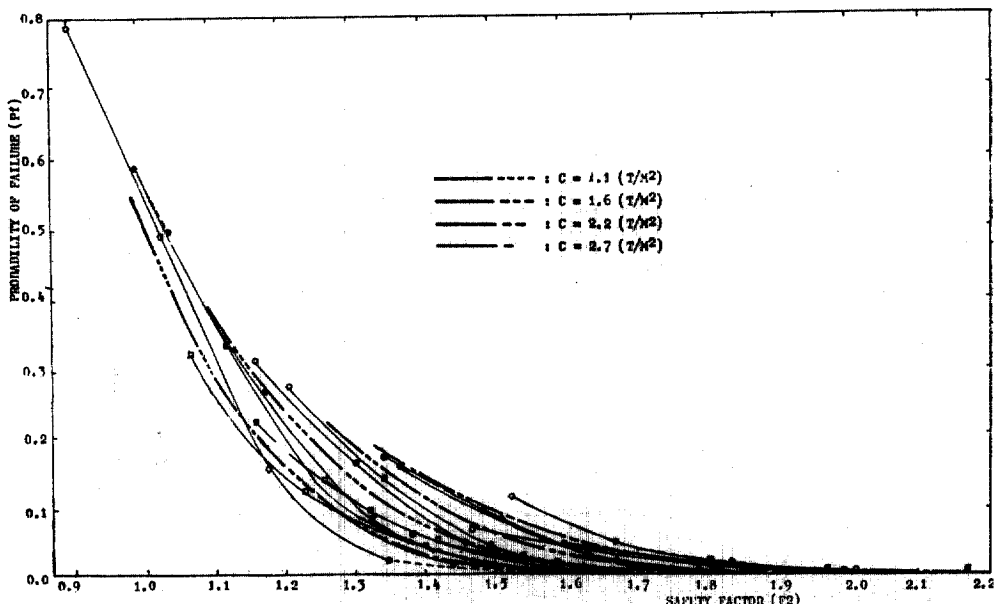


그림 10. Relationships between probability of failure and safety factor(C.O.V. of I.F.Angle=13%, C.O.V. of Cohesion=45%, Beta distribution)

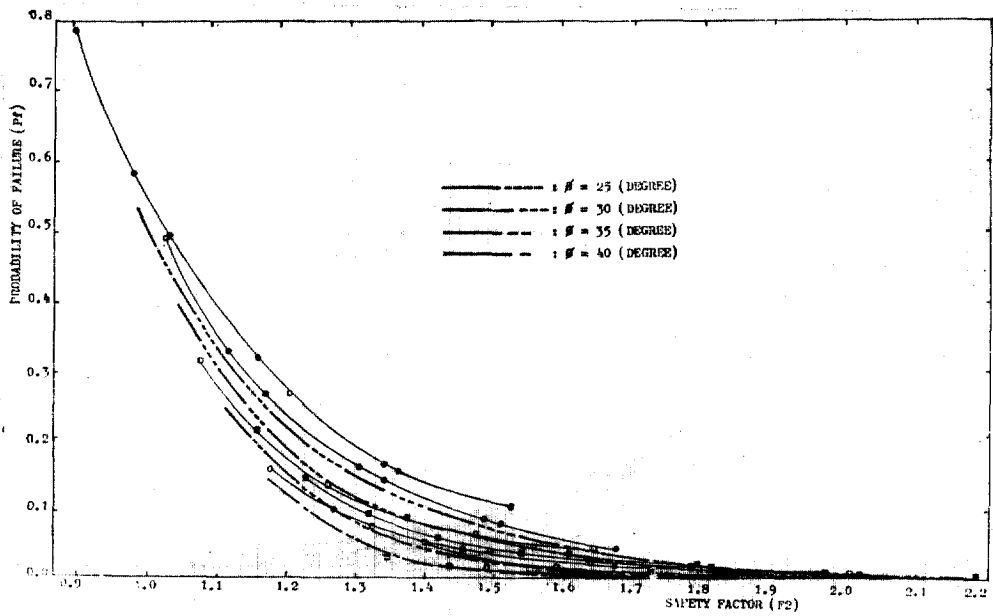


그림 11. Relationships between probability of failure and safety factor(C.O.V. of I.F. Angle=13%, C.O.V. of Cohesion=45%, Beta distribution)

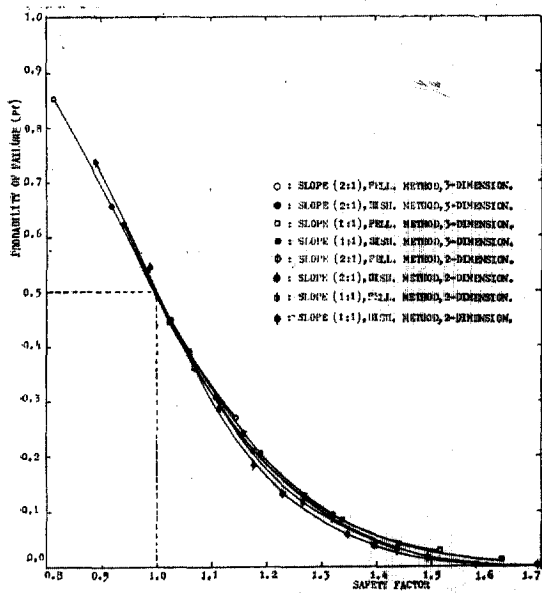


그림 12. Relationships between probability of failure and safety factor(Cohesion ( $T/M^3$ )=1.1, C.O.V. of I.F. Angle=13%, C.O.V. of Cohesion=45%, Normal distribution)

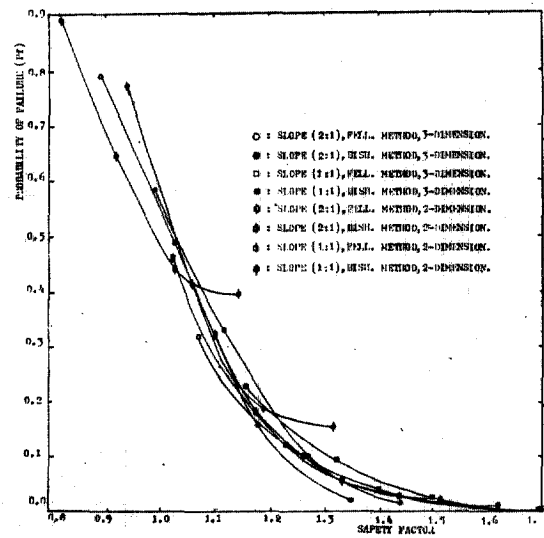


그림 14. Relationships between probability of failure and safety factor(Cohesion ( $T/M^3$ )=1.1, C.O.V. of I.F. Angle=13%, C.O.V. of Cohesion=45%, Beta distribution)

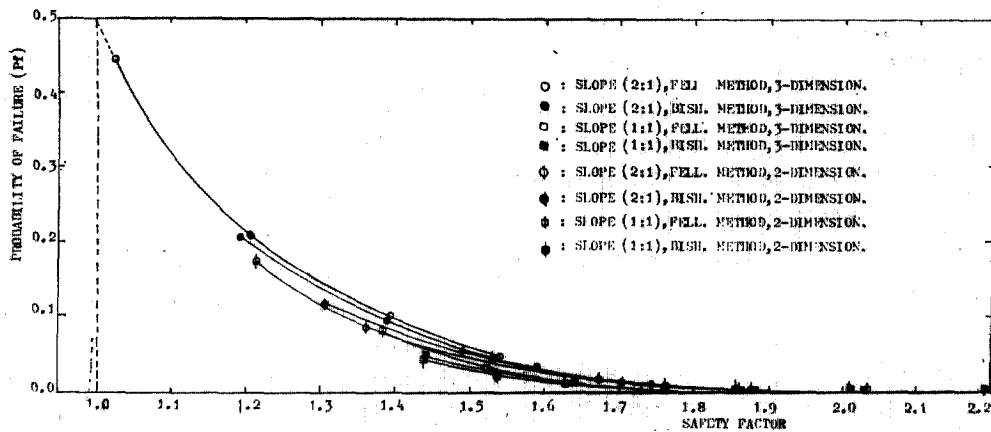


그림 13. Relationships between probability of failure and safety factor(I.F. Angle(degree)=35, C.O.V. of I.F. Angle=13%, C.O.V. of Cohesion=45%, Normal distribution)

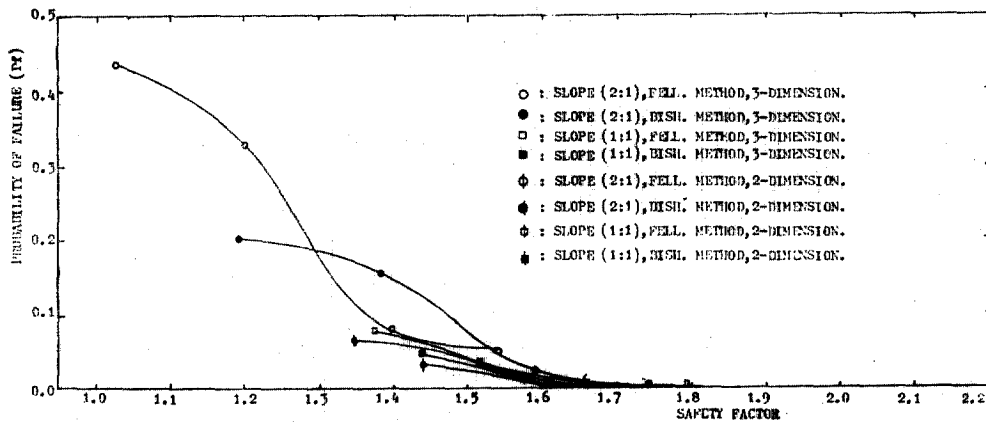


그림 15. Relationships between probability of failure and safety factor(I.F. Angle(degree)=35, C.O.V. of I.F. Angle=13%, C.O.V. of Cohesions=45%, Beta distribution)

(2) 그림 12, 그림 13에서 보는 바와 같이 斜面의 傾斜의 여하에도 불구하고 斜面의 解析을 2次元으로 하진 3次元으로 하진 解析法을 Fell-enius 方法으로 하진 Bishop 方法으로 하진 어떤 경우라도 強度定數가 正規分布인 경우는 安全率과 破壊確率과의 關係는 대체로 같은 曲線을 이루므로 뚜렷한 相關關係가 있음이 분명하다. 그러나 그림 14, 그림 15에서 보는 바와 같이 強度定數가 베타分布인 경우는 모든 경우를 포함한一般的인 뚜렷한 相關關係가 없었으나一般的으로 安全率에 작은 쪽이 큰 쪽에 비하여 特定한 安全率에 對하여 破壊確率의 變化의 幅이 크게 나타났다. 특히 實用되고 있는 許容安全率

$F=1.2, 1.3$ 인 경우에 매우 크게 나타났다.

#### 4. 結論

三次元 斜面安定解析에 있어서 強度定數를 正規分布와 一般 베타分布로 假定하여 一様分布變換法으로 積積分布에 해당하는 亂數를 生成하고 이에 對應하는 強度定數를 찾아내어 몬테칼로방법을 利用하여 斜面의 破壊確率을 求하는 프로그램을 開發하였고 이를 비교하기 위하여 二次元 斜面安定解析에 對하여서도 뚜렷은 프로그램을 開發하였다. 이 프로그램에 의하여 檢討한 結果는 다음과 같다.

(1) 斜面傾斜의 여하에도 불구하고 斜面의 解

析을 二次元으로 하면 三次元으로 하면 解析方法을 Fellenius 方法으로 하면 Bishop 方法으로 하면 어떤 경우라도 強度定數가 正規分布인 경우에는 安全率과 破壞確率과의 關係는 대체로 같은 曲線을 이루므로 뚜렷한 相關關係가 있다.

(2) 強度定數가 正規分布인 경우는 安全率이 1인 경우에는 破壞確率이 50%이었고 安全率이 1.3, 1.5, 2.0인 경우에 破壞確率은 각각 0.082~0.187, 0.014~0.078, 0.001~0.004의 範圍이었다.

(3) 強度定數가 베타分布인 경우는 모든 경우를 포함한 一般的인 뚜렷한 相關關係가 없었으나 一般的으로 安全率이 작은 쪽이 큰 쪽에 비하여 特定한 安全率에 대하여 破壞確率의 變化의 幅이 크게 나타났다. 특히 實用되고 있는 許容安全率  $F=1.2, 1.3$ 인 경우에 매우 크게 나타났다.

(4) 強度定數가 正規分布와 베타分布인 경우 모두 粘着力이 커짐에 따라 特定한 安全率에 對하여 破壞確率은 크게 나타나고 이와 반대로 内部마찰각이 커짐에 따라 特定한 安全率에 對하여 破壞確率은 작게 나타났다.

(5) 베타分布하는 強度定數를 正規分布로 推定하여 이 推定值를 가지고 安全率과 破壞確率과의 關係를 얻을 수 있다.

(6) 地下水의 영향, 動的荷重, 引張龜裂, 不均質土에 對하여 그리고 滑動破壞面의 決定에 對하여 더 많은 研究가 이루어져야겠고 實際의 인 適用을 為해서 새로운 設計 基準 즉, 어떤 特別한 斜面에 對한 許容 破壞確率이 定해져야 한다.

## 參 考 文 獻

- Ang, A.H.S., and Amin, M., "Safety Factors and Probability in Structural Design", *Journal of the Structural Division, ASCE*, Vol. 95, No. ST7, July, 1969, pp. 1389~1405.
- Baligh, M.M., and Azzouz, A.S., "End Effects on Stability of Cohesive Slopes", *Journal of the Geotechnical Engineering Division, ASCE*, Vol. 101, No. GT 11, November, 1977, pp. 1105~1117.
- Hahn, G.T., and Shapiro, S.S., "Stability Models in Engineering", John Wiley and Sons, Inc., 1968.
- Harr, M.E., "Mechanics of Particulate Media", McGraw-Hill, Inc., 1977.
- Hovland, H.J., "Three-Dimensional Slope Stability Analysis Method", *Journal of the Geotechnical Engineering Division, ASCE*, Vol. 103, No. GT9, September, 1977, pp. 971~986.
- Lumb, P., "Safety Factors and the Probability Distribution of Soil Strength", *Canadian Geotechnical Journal*, 7, No. 3, pp. 225~242.
- Lumb, P., "The Variability of Natural Soils", *Canadian Geotechnical Journal*, 3, No. 2, pp. 74~97.
- Meyerhof, G.G., "Safety Factor in Soil Mechanics", *Canadian Geotechnical Journal*, 7, No. 4, pp. 349~354.
- Shannon, R.E., "Systems Simulation, The Art and Science", Prentice-Hall, Inc., Englewood Cliffs, N.J., 1975.
- Tang, W.H., Yucemen, M.S., and Ang, A.H.S., "Probability Based Short Term Design of Soil Slopes", *Canadian Geotechnical Journal*, 13, pp. 201~214.
- Vanmarcke, E.H., "On the Reliability of Earth Slopes", *Journal of the Geotechnical Engineering Division, ASCE*, Vol. 103, No. GT11, November, 1977, pp. 1247~1265.
- Vanmarcke, E.H., "Probability Modelling of soil Profiles", *Journal of the Geotechnical Division, ASCE*, Vol. 103, No. GT11, November, 1977, pp. 1227~1246.
- Wu, T.H., and Kraft, L.M., "Safety Analysis of Slopes", *Journal of the Soil Mechanics and Foundations Division, ASCE*, Vol. 96, No. SM 2, March, 1970, pp. 609~630.
- Wu, T.H., "Uncertainty, Safety, and Decision in soil Engineering", *Journal of the Geotechnical Engineering Division, ASCE*, Vol. 100, No. GT 3, March, 1974, pp. 348~392.

(接受 : 1983. 7. 25)